

سنتز ترکیب‌های دی‌هیدروپیرانوکرپونیتریل بر پایه کوچیک اسید متصل به حلقه ۱،۲،۳-تری-آزول با روش شیمی کلیک و ارزیابی آن‌ها به‌عنوان مهارکننده‌های آنزیم تیروزیناز

زهرا نجفی^{۱*}، سهیلا اسمعیلی^۲، سعید بابایی^۲، بهنام خالصه^۳، غلامعباس چهاردولی^۴، مهدی خوشنویس‌زاده^{۵*} و تهمینه اکبرزاده^۶

۱. استادیار شیمی دارویی، دانشکده داروسازی، دانشگاه علوم پزشکی همدان، همدان، ایران.
۲. دانشجوی دکتری شیمی آلی، گروه شیمی آلی، دانشکده شیمی، دانشگاه بوعلی سینا، همدان، ایران.
۳. دانشجوی دکتری داروسازی، دانشکده داروسازی، دانشگاه علوم پزشکی همدان، همدان، ایران.
۴. دانشیار شیمی آلی، دانشکده داروسازی، دانشگاه علوم پزشکی همدان، همدان، ایران.
۵. دانشیار شیمی دارویی، دانشکده داروسازی، دانشگاه علوم پزشکی شیراز، شیراز، ایران.
۶. استاد شیمی دارویی، دانشکده داروسازی، دانشگاه علوم پزشکی تهران، تهران، ایران.

دریافت: دی ۱۴۰۱ بازنگری: بهمن ۱۴۰۱ پذیرش: بهمن ۱۴۰۱



10.30495/JACR.2023.1976876.2080



20.1001.1.17359937.1401.16.4.5.3

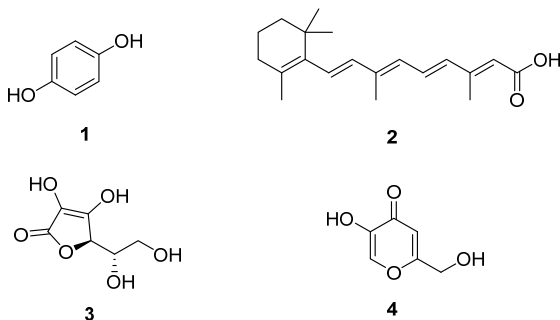
چکیده

در این پژوهش، سنتز ترکیب‌های دی‌هیدروپیرانوکرپونیتریل بر پایه کوچیک اسید متصل به حلقه ۱،۲،۳-تری‌آزول با روش شیمی کلیک و ارزیابی آن‌ها به‌عنوان مهارکننده‌های آنزیم تیروزیناز انجام شد. حلقه‌زایی تری‌آزول در ترکیب‌های هدف با روش کلاسیک شارپلس و در حضور کاتالیست مس انجام شد. ترکیب‌ها شامل سه گروه مشتق‌های کوچیک اسید دارای حلقه ۱،۲،۳-تری‌آزول بودند که برمبنای ۴-هیدروکسی‌بنزآلدهید، ۳-هیدروکسی‌بنزآلدهید و ۴-هیدروکسی‌بنزآلدهید و ۳-متوکسی‌بنزآلدهید (وانیلین) سنتز شدند. ارزیابی برون‌تنی اثر مهارکنندگی آنزیم تیروزیناز همه ترکیب‌ها انجام شد. اکثر ترکیب‌ها قدرت مهارتی متوسط را از خود نشان دادند و در نهایت نتیجه‌ها به‌صورت درصد مهار گزارش شدند. از میان آن‌ها، ترکیب‌های **8d**، **8f** و **8n** بهترین درصد فعالیت مهارتی آنزیم تیروزیناز با درصدهای به ترتیب 40.12 ± 2.88 ، 45.53 ± 3.05 و 42.52 ± 2.05 را نسبت به کوچیک اسید به‌عنوان شاهد استاندارد ($19.69 \pm 2.11 \mu M$) نشان دادند. مطالعه‌های داکینگ نشان داد که ترکیب‌ها با آمینو اسیدهای اطراف مکان فعال آنزیم تیروزیناز برهم‌کنش دارند. همچنین، بررسی ویژگی‌های دارونمایی و جنبش‌شناسی دارویی برای ترکیب‌های منتخب، محاسبه شد و در گستره قابل قبول قرار گرفتند.

واژه‌های کلیدی: مهارکننده‌های آنزیم تیروزیناز، کوچیک اسید، حلقه ۱،۲،۳-تری‌آزول، حلقه‌زایی، داکینگ مولکولی.

مقدمه

سرطان است [۱۰ و ۱۱]. بسیاری از مهارکننده‌های تیروزیناز مانند هیدروکینون (۱)، ترتینوتین (۲)، ال اسکوربیک اسید (۳)، و کوچیک اسید (۴) به عنوان عامل‌های روشن‌کننده پوست در بازار موجود هستند (شکل ۱) [۱۲].



شکل ۱ نمونه‌هایی از مهارکننده‌های قوی تیروزیناز

یکی از مهم‌ترین مهارکننده‌های طبیعی شناخته شده تیروزیناز، کوچیک اسید است که یک متابولیت قارچی تولیدشده با تعدادی از گونه‌های متفاوت *آسپرژیلوس*^۵ و *پنیسیلیوم*^۶ است [۱۳] و از راه کی‌لیت‌شدن با مس در جایگاه فعال، می‌تواند آنزیم را مهار کند. این ترکیب در حال حاضر به‌عنوان عامل سفیدکننده پوست در صنایع آرایشی و به‌عنوان افزودنی در صنایع غذایی برای جلوگیری از تغییر رنگ استفاده می‌شود که اثر مهاری رقابتی بر فعالیت مونوفنولازی و اثر مهاری ترکیبی بر فعالیت دی‌فنولازی آنزیم تیروزیناز قارچی دارد. هر کدام از این ترکیب‌ها دارای مزایا و معایبی هستند. برای مثال، هیدروکینون یک مهارکننده خوب است، ولی موجب قرمزی، سوزش و خارش پوست می‌شود و سمی و جهش‌زا نیز هستند [۱۴ تا ۱۶]. برپایه داربست کوچیک اسید و در ادامه برنامه پژوهشی خود [۱۷ و ۱۸] برای توسعه بیشتر، ترکیب‌های دی‌هیدروپیرانو- [۲،۳b]-۳-کربونیتریل بر پایه کوچیک اسید دارای حلقه

حلقه‌زایی آزید-آلکین هیوسگن^۱ در حضور کاتالیست مس منجر به ایجاد حلقه ۱،۲،۳-تری‌آزول می‌شود که با نام شیمی کلیک^۲ معروف است و برای نخستین بار توسط دانشمندی به نام شارپلس^۳ ارائه شد [۱]. این روش، روشی پرکاربرد، قابل اعتماد و ساده برای ایجاد پیوندهای کووالانسی بین بلوک‌های ساختمانی حاوی گروه‌های عملکردی متفاوت است که در سنتز آلی، شیمی دارویی، شیمی سطح، بسپار، و زیست‌مزدوج‌کردن بسیار پرکاربرد است. شیمی کلیک رویکرد جدیدی برای سنتز مولکول‌های دارویی است و ترکیب‌های بسیاری با کمک روش شیمی کلیک به‌عنوان داروهای پادسرطان، پادقارچ، پادباکتری، پادآلزایمر، پادتیروزیناز و غیره کشف شده است [۲ و ۳]. ملانوژنز فرایندی است که زیست‌سنتز ملانین در آن رخ می‌دهد و آنزیم تیروزیناز در این فرایند نقش اساسی دارد، ولی تغییر در فعالیت آنزیم ممکن است موجب اختلالات در تولید رنگدانه شود. نوع و مقدار ملانین سنتز شده با ملانوسیت‌ها و مقدار انتشار آن‌ها در اطراف کراتینوسیت‌ها، رنگ واقعی پوست را تعیین می‌کند [۴ و ۵]. تیروزیناز آنزیمی با نقشی کلیدی در مسیر بیوسنتز ملانین است که حاوی دو اتم مس است که اکسایش فنل‌هایی مانند تیروزین و دوپامین را با استفاده از اکسیژن انجام می‌دهد. آنزیم در پیش‌ساز^۴ L-تیروزین یا دوپا به‌طور چشمگیری اختصاصی عمل می‌کند که منجر به تولید ملانین یا رنگدانه پوست می‌شود [۶ و ۷]. تولید بیش از اندازه یا هایپرپیگماتاسیون، ملانین موجب اختلال‌های پوستی متفاوتی مانند کک، لک‌های سالمندی، لک‌های بارداری، ملاسما و اسکارهای پیگماتته ناشی از آکنه می‌شود [۸ و ۹]. افزون‌براین، هایپرپیگماتاسیون ناشی از افزایش فعالیت تیروزیناز از نشانه‌های ظاهری ملانوم است که یکی از انواع کشنده‌ترین

1. Azide-alkyne Huisgen cycloaddition

2. Click chemistry

3. Sharpless

4. Substrate

5. *Aspergillus*

6. *Penicillium*

۳،۲،۱-تری‌آزول به‌عنوان مهارکننده‌های آنزیم تیروزیناز ارزیابی شدند.

بخش تجربی

دستگاه‌ها

نقاط ذوب ترکیب‌های سنتز شده با دستگاه Stuart melting point apparatus SMP3 اندازه‌گیری شد. طیف‌های $^{13}\text{C-NMR}$ و $^1\text{H-NMR}$ ترکیب‌ها با دستگاه مدل Bruker 400 MHz ثبت و جابه‌جایی‌های شیمیایی (δ) آن‌ها به‌صورت ppm گزارش شدند. ثابت‌های جفت‌شدگی (J) به‌صورت Hz و جفت‌شدن پروتون‌ها به‌صورت یکتایی (Singlet (s)، دوتایی (Doublet (d)، سه‌تایی (Triplet (t) و چندتایی (Multiplet (m) گزارش شده‌اند. تجزیه عنصری نمونه‌ها با دستگاه Elementar Analysensystem GmbH VarioEL CHNS انجام شد. طیف‌های فروسرخ تبدیل فوریه ترکیب‌ها با دستگاه مدل Bruker ALPHA FTIR spectrometer ثبت شدند.

روش کلی برای سنتز آلدهیدهای پروپارژیل ۳a-c

مقدار ۱ میلی‌مول هیدروکسی بنزالدهید یا وانیلین **1a-c**، ۱/۵ میلی‌مول نمک پتاسیم کربنات، ۱/۵ میلی‌مول پروپارژیل برماید و ۵ میلی‌لیتر حلال دی‌متیل‌فرمامید (DMF) در یک بالون ۲۵ میلی‌لیتری ریخته و هم‌زده شد. پس از یک شبانه‌روز پیشرفت واکنش با سوانگاری لایه نازک ارزیابی شد. پس از اطمینان از تشکیل فراورده به مخلوط واکنش مقداری یخ افزوده و به مدت ۱۵ دقیقه هم‌زده شد. پس از تشکیل رسوب، مخلوط واکنش صاف و با آب مقطر شسته شد. در نهایت ترکیب‌های **3a-c** با بازده بالای ۸۰ درصد بدون خالص‌سازی بیشتر، برای مرحله بعد استفاده شد [۱۹].

روش کلی برای سنتز مشتق‌های ۲-آمینو-۶-هیدروکسی (متیل)-**1a-c** کسو-۴-فنیل-**4**، **8**-دی‌هیدروپیرانو[**3**، **2**-b] پیران-**3**-**6a-c** کربونیتریل

در یک بالن ۲۵ میلی‌لیتری، مخلوطی از آلدهید پروپارژیل **3a-c** (۱ میلی‌مول)، مالونونیتریل (۵/۲ میلی‌مول)، و کوچیک اسید (۱ میلی‌مول) در ۱۰ میلی‌لیتر اتانول در حضور سه قطره تری‌اتانول آمین به‌عنوان کاتالیست به مدت ۲۴ ساعت بازروانی شد. پس از تکمیل واکنش (بررسی با سوانگاری لایه نازک) و کاهش دمای واکنش به دمای اتاق، ترکیب‌های **6a-c** با بازده بالای ۷۰ درصد به‌صورت رسوب به‌دست آمد و با کمک کاغذ صافی از محیط جدا و بدون خالص‌سازی بیشتر برای مرحله بعد استفاده شد [۲۰].

روش کلی برای سنتز مشتق‌های کوچیک اسید دارای حلقه **3a-c** - تری‌آزول

مخلوط بنزیل هالیدهای متفاوت **7a-e** (۱/۵ میلی‌مول) و سدیم آزید (۱/۵ میلی‌مول) در حلال متانول در دمای اتاق به مدت یک ساعت هم‌زده شد. سپس به آن ترکیب‌های **7a-c** (۱ میلی‌مول) در حضور آسکوربیک اسید و سولفات مس (II) به‌عنوان کاتالیست افزوده شد و در دمای اتاق هم‌زده شد. پس از تکمیل واکنش (بررسی با سوانگاری لایه نازک)، مخلوط واکنش صاف شد و فراورده نهایی **8a-o** با کمک سوانگاری صفحه‌ای جداسازی و خالص شد [۱۷ و ۲۱].

3-Amino-4-(4-((1-benzyl-1H-1,2,3-triazol-4-yl)methoxy)phenyl)-6-(hydroxymethyl)-8-oxo-4,8-dihydropyrano[3,2-b]pyran-2-carbonitrile (8a)

Yellow solid; m.p. = 183-185 °C; FTIR (KBr), $\bar{\nu}$ (cm⁻¹): 3425, 2924, 2193, 1641, 1509, 1410; ¹H NMR (400 MHz, DMSO-*d*₆) δ_{ppm} : δ 8.32 (s, 1H), 7.44 – 7.33 (m, 7H), 7.27 (s, 2H), 7.04 (d, *J* = 7.8 Hz, 1H), 6.94 (s, 1H), 6.89 (d, *J* = 7.8 Hz, 1H), 6.36 (s, 1H), 5.63 (s, 2H), 5.16 (s, 2H), 4.79 (s, 1H), 4.27 – 4.13 (m, 2H); ¹³C NMR (100 MHz, DMSO-*d*₆) δ_{ppm} : 162.6, 157.7, 150.9, 144.4, 131.4, 131.0, 127.7, 127.2, 125.2, 125.0, 120.7, 119.4, 116.0, 115.8, 115.7, 105.7, 59.7, 56.9, 55.1, 39.8; Anal. calcd. for C₂₆H₂₁N₅O₅, C: 64.59, H: 4.38, N: 14.49, and found, C: 64.51, H: 4.42, N: 14.52.

2-Amino-4-(4-((1-(4-chlorobenzyl)-1H-1,2,3-triazol-4-yl)methoxy)phenyl)-6-(hydroxymethyl)-8-oxo-4,8-dihydropyrano[3,2-b]pyran-3-carbonitrile (8b)

Yellow solid; m.p.= 174-176 °C; FTIR (KBr), $\bar{\nu}$ (cm⁻¹): 3229, 2193, 1644, 1509, 1409; ¹H NMR (400 MHz, DMSO-*d*₆) δ_{ppm} : δ 8.29 (s, 1H), 7.44 (d, *J* = 8.4 Hz, 2H), 7.34 (d, *J* = 8.4 Hz, 2H), 7.20 (s, 2H), 7.19 (d, *J* = 7.2 Hz, 2H), 7.03 (d, *J* = 7.2 Hz, 2H), 6.31 (s, 1H), 5.61 (s, 2H), 5.12 (s, 2H), 4.72 (s, 1H), 4.24 – 4.08 (m, 2H); ¹³C NMR (100 MHz, DMSO-*d*₆) δ_{ppm} : 170.1, 168.8, 159.7, 158.2, 149.8, 143.4, 138.1, 136.7, 133.7, 133.5, 129.8, 129.4, 128.6, 125.1, 119.9, 115.5, 111.9, 61.6, 56.4, 53.2, 40.7; Anal. calcd. for C₂₆H₂₀ClN₅O₅, C: 60.30, H: 3.89, N: 13.52, and found, C: 60.19, H: 3.80, N: 13.24.

2-Amino-6-(hydroxymethyl)-4-(4-((1-(4-methylbenzyl)-1H-1,2,3-triazol-4-yl)methoxy)phenyl)-8-oxo-4,8-dihydropyrano[3,2-b]pyran-3-carbonitrile (8c)

Brown solid; m.p.= 178-180 °C; FTIR (KBr), $\bar{\nu}$ (cm⁻¹): 3318, 2920, 2193, 1645, 1509; ¹H NMR (400 MHz, DMSO-*d*₆) δ_{ppm} : δ 8.26 (s, 1H), 7.28 – 7.14 (m, 8H), 7.03 – 7.05 (m, 2H), 6.33 (s, 1H), 5.56 (s, 2H), 5.12 (s, 2H), 4.74 (s, 1H), 4.24 – 4.10 (m, 2H), 2.28 (s, 3H); ¹³C NMR (100 MHz, DMSO-*d*₆) δ_{ppm} : 169.6, 168.2, 159.1, 157.6, 149.2, 142.8, 137.5, 136.1, 133.2, 132.9, 131.6, 129.2, 128.8, 128.0, 124.5, 119.3, 115.0, 111.3, 61.1, 59.1, 55.9, 52.6, 38.0, 20.7; Anal. calcd. for C₂₇H₂₃N₅O₅, C: 65.18, H: 4.66, N: 14.08, and found, C: 65.19, H: 4.70, N: 14.04.

2-Amino-6-(hydroxymethyl)-4-(4-((1-(4-methoxybenzyl)-1H-1,2,3-triazol-4-yl)methoxy)phenyl)-8-oxo-4,8-dihydropyrano[3,2-b]pyran-3-carbonitrile (8d)

Brown solid; m.p.= 131-133 °C; FTIR (KBr), $\bar{\nu}$ (cm⁻¹): 3429, 2926, 2197, 1640, 1511, 1385; ¹H NMR (400 MHz, DMSO-*d*₆) δ_{ppm} : δ 8.25 (s, 1H), 7.31 (d, *J* = 8.7 Hz, 2H), 7.20 (d, *J* = 8.7 Hz, 3H), 7.04 (d, *J* = 8.7 Hz, 2H), 6.93 (d, *J* = 8.7 Hz, 2H), 6.33 (s, 1H), 5.53 (s, 2H), 5.11 (s, 2H), 4.74 (s, 1H), 4.10-4.15 (m, 2H), 3.74 (s, 3H); ¹³C NMR (100 MHz, DMSO-*d*₆) δ_{ppm} : 169.6, 168.2, 159.1, 157.6, 149.2, 136.1, 133.9, 133.2, 129.6, 128.8, 127.9, 124.4, 119.3, 114.9, 114.3, 114.1, 113.4, 111.3, 61.1, 59.0, 55.1, 45.5, 41.3; Anal. calcd. for C₂₇H₂₃N₅O₆, C: 63.15, H: 4.51, N: 13.64, and found, C: 63.19, H: 4.45, N: 13.58.

2-Amino-4-(4-((1-(4-fluorobenzyl)-1H-1,2,3-triazol-4-yl)methoxy)phenyl)-6-(hydroxymethyl)-8-oxo-4,8-dihydropyrano[3,2-b]pyran-3-carbonitrile (8e)

Brown solid; m.p.= 163-165 °C; FTIR (KBr), $\bar{\nu}$ (cm⁻¹): 3416, 2207, 1605, 1510, 1228; ¹H NMR (400 MHz, DMSO-*d*₆) δ_{ppm} : 8.30 (s, 1H), 7.42 (d, *J* = 5.4 Hz, 1H), 7.40 (d, *J* = 5.4 Hz, 2H), 7.22 – 7.19 (m, 5H), 7.04 (d, *J* = 8.7 Hz, 2H), 6.33 (s, 1H), 5.61 (s, 2H), 5.13 (s, 2H), 4.74 (s, 1H), 4.17 – 4.11 (m, 2H); ¹³C NMR (100 MHz, DMSO-*d*₆) δ_{ppm} : 170.1, 168.7, 159.8, 149.6, 147.6, 143.4, 136.7, 135.5, 134.2, 132.8, 130.9, 130.8, 125.3, 124.7, 120.1, 116.7, 116.4, 116.2, 116.0, 114.1, 111.8, 62.1, 59.6, 56.0, 46.2; Anal. calcd. for C₂₆H₂₀FN₅O₅, C: 62.27, H: 4.02, N: 13.97, and found, C: 62.22, H: 4.10, N: 13.98.

2-Amino-4-(3-((1-benzyl-1H-1,2,3-triazol-4-yl)methoxy)phenyl)-6-(hydroxymethyl)-8-oxo-4,8-dihydropyrano[3,2-b]pyran-3-carbonitrile (8f)

Yellow solid; m.p= 139-141 °C; FTIR (KBr), $\bar{\nu}$ (cm⁻¹): 3320, 2194, 1643, 1639, 1097; ¹H NMR (400 MHz, DMSO-*d*₆) δ_{ppm} : 8.32 (s, 1H), 7.44 – 7.33 (m, 7H), 7.27 (s, 2H), 7.04 (d, *J* = 8.6 Hz, 1H), 6.94 (s, 1H), 6.89 (d, *J* = 7.8 Hz, 1H), 6.36 (s, 1H), 5.63 (s, 2H), 5.16 (s, 2H), 4.79 (s, 1H), 4.27 – 4.13 (m, 2H); ¹³C NMR (101 MHz, DMSO-*d*₆) δ_{ppm} : 163.6, 162.2, 157.7, 150.8, 144.1, 135.0, 131.4, 131.3, 131.2, 130.1, 128.5, 127.7, 127.1, 124.3, 120.6, 119.5, 117.4, 116.1, 115.9, 105.7, 61.6, 58.0, 55.1, 39.9; Anal. calcd. for C₂₆H₂₁N₅O₅, C: 64.59, H: 4.38, N: 14.49, and found, C: 64.42, H: 4.40, N: 14.55.

2-Amino-4-(3-((1-(4-chlorobenzyl)-1H-1,2,3-triazol-4-yl)methoxy)phenyl)-6-(hydroxymethyl)-8-oxo-4,8-dihydropyrano[3,2-b]pyran-3-carbonitrile (8g)

Brown solid; m.p= 183-185 °C; FTIR (KBr), $\bar{\nu}$ (cm⁻¹): 3430, 2925, 2193, 1641, 1601, 1508, 1408, 1256; ¹H NMR (400 MHz, DMSO-*d*₆) δ_{ppm} : 8.32 (s, 1H), 7.46 (d, *J* = 8.5 Hz, 2H), 7.36 (d, *J* = 8.5 Hz, 2H), 7.32 (d, *J* = 7.9 Hz, 1H), 7.25 (s, 2H), 7.02 (d, *J* = 7.9 Hz, 1H), 6.92 – 6.90 (m, 1H), 6.87 (d, *J* = 7.9 Hz, 1H), 6.34 (s, 1H), 5.63 (s, 2H), 5.14 (s, 2H), 4.77 (s, 1H), 4.24 – 4.12 (m, 2H); ¹³C NMR (100 MHz, DMSO-*d*₆) δ_{ppm} : 162.9, 162.1, 142.3, 134.9, 131.8, 131.5, 129.9, 129.6, 129.4, 128.8, 128.7, 128.7, 125.0, 122.0, 115.2, 114.7, 98.3, 61.4, 56.1, 52.0, 40.1; Anal. calcd. for C₂₆H₂₀ClN₅O₅, C: 60.30, H: 3.89, Cl: 6.84, N: 13.52, and found, C: 60.30, H: 3.40, N: 13.56. □

2-Amino-6-(hydroxymethyl)-4-(3-((1-(4-methylbenzyl)-1H-1,2,3-triazol-4-yl)methoxy)phenyl)-8-oxo-4,8-dihydropyrano[3,2-b]pyran-3-carbonitrile (8h)

Brown solid; m.p= 135-137 °C; FTIR (KBr), $\bar{\nu}$ (cm⁻¹): 3313, 2927, 2193, 1643, 1442, 1261, 1021; ¹H NMR (400 MHz, DMSO-*d*₆) δ_{ppm} : 8.26 (s, 1H), 7.33 (t, *J* = 7.9 Hz, 1H), 7.28 – 7.21 (m, 4H), 7.18 (d, *J* = 7.9 Hz, 3H), 7.02 (dd, *J* = 8.2, 2.6 Hz, 1H), 6.91 (t, *J* = 2.0 Hz, 1H), 6.89 – 6.84 (m, 1H), 6.34 (s, 1H), 5.55 (s, 2H), 5.13 (s, 2H), 4.76 (s, 1H), 4.25 – 4.10 (m, 2H), 2.28 (s, 3H); ¹³C NMR (100 MHz, DMSO-*d*₆) δ_{ppm} : 169.5, 168.2, 166.9, 162.3, 159.2, 158.3, 148.8, 142.8, 142.4, 137.5, 136.4, 132.9, 131.6, 130.1, 129.3, 128.6, 128.0, 124.5, 120.1, 119.2, 114.5, 113.6, 111.4, 61.1, 59.1, 52.6, 40.2, 20.7; Anal. calcd. for C₂₇H₂₃N₅O₅, C: 65.18, H: 4.66, N: 14.08, and found, C: 65.21, H: 4.70, N: 14.08.

2-Amino-6-(hydroxymethyl)-4-(3-((1-(4-methoxybenzyl)-1H-1,2,3-triazol-4-yl)methoxy)phenyl)-8-oxo-4,8-dihydropyrano[3,2-b]pyran-3-carbonitrile (8i)

Brown solid; m.p= 143-145 °C; FTIR (KBr), $\bar{\nu}$ (cm⁻¹): 3425, 2928, 2193, 1642, 1513, 1252, 1139; ¹H NMR (400 MHz, DMSO-*d*₆) δ_{ppm} : 8.23 (s, 1H), 7.32 (d, *J* = 8.6 Hz, 2H), 7.22 (d, *J* = 4.0 Hz, 3H), 7.14 (d, *J* = 8.3 Hz, 1H), 6.93 (d, *J* = 8.6 Hz, 2H), 6.87 (d, *J* = 1.7 Hz, 1H), 6.77 (dd, *J* = 8.3, 1.7 Hz, 1H), 6.33 (s, 1H), 5.53 (s, 2H), 5.08 (s, 2H), 4.74 (s, 1H), 4.12-4.26 (m, 2H), 3.74 (s, 3H); ¹³C NMR (100 MHz, DMSO-*d*₆) δ_{ppm} : 169.6, 168.1, 159.2, 159.1, 149.1, 149.0, 147.1, 142.8, 136.1, 133.6, 129.6, 127.9, 124.4, 119.6, 119.3, 115.7, 115.5, 114.1, 113.6, 111.5, 111.3, 61.6, 59.1, 55.1, 52.3, 39.8; Anal. calcd. for C₂₇H₂₃N₅O₆, C: 63.15, H: 4.51, N: 13.64, and found, C: 63.15, H: 4.49, N: 13.55. □

2-Amino-4-(3-((1-(4-fluorobenzyl)-1H-1,2,3-triazol-4-yl)methoxy)phenyl)-6-(hydroxymethyl)-8-oxo-4,8-dihydropyrano[3,2-b]pyran-3-carbonitrile (8j)

Yellow solid; m.p= 151-153 °C; FTIR (KBr), $\bar{\nu}$ (cm⁻¹): 3387, 2938, 2192, 1641, 1511, 1420, 1223; ¹H NMR (400 MHz, DMSO-*d*₆) δ_{ppm} : 8.30 (s, 1H), 7.62–7.56 (m, 1H), 7.42 (dd, *J* = 8.3, 5.8 Hz, 2H), 7.24 – 7.19 (m, 3H), 7.15 (d, *J* = 8.5 Hz, 1H), 6.89 (d, *J* = 1.9 Hz, 1H), 6.81 – 6.75 (m, 1H), 6.34 (s, 1H), 5.62 (s, 2H), 5.10 (s, 2H), 4.75 (s, 1H), 4.13-4.26 (m, 2H); ¹³C NMR (100 MHz, DMSO-*d*₆) δ_{ppm} : 169.6, 168.1, 159.2, 149.1, 147.0, 142.9, 136.1, 135.0, 133.6, 132.2, 130.4, 130.3, 124.7, 119.6, 115.9, 115.7, 115.5,

113.6, 111.3, 61.6, 59.1, 55.4, 45.6; Anal. calcd. for $C_{26}H_{20}FN_5O_5$, C: 62.27, H: 4.02, N: 13.97, and found, C: 62.14, H: 3.99, N: 13.98. □

2-Amino-4-(4-((1-benzyl-1*H*-1,2,3-triazol-4-yl)methoxy)-3-methoxyphenyl)-6-(hydroxymethyl)-8-oxo-4,8-dihydropyrano[3,2-*b*]pyran-3-carbonitrile (8k)

Yellow solid; m.p= 159-161 °C; FTIR (KBr), $\bar{\nu}$ (cm^{-1}): 3400, 2925, 2193, 1644, 1509, 1409, 1210; 1H NMR (400 MHz, DMSO- d_6) δ_{ppm} : 8.28 (s, 1H), 7.41–7.36 (m, 5H), 7.21 (s, 2H), 7.14 (d, $J = 8.5$ Hz, 1H), 6.88 (d, $J = 2.1$ Hz, 1H), 6.77 (dd, $J = 8.5, 2.1$ Hz, 1H), 6.33 (s, 1H), 5.60 (s, 2H), 5.11 (s, 2H), 4.74 (s, 1H), 4.13–4.15 (m, 2H), 3.73 (s, 3H); ^{13}C NMR (100 MHz, DMSO- d_6) δ_{ppm} : 160.5, 159.0, 151.0, 148.6, 146.3, 138.3, 137.7, 137.5, 133.2, 131.1, 130.7, 128.1, 127.8, 127.0, 126.7, 121.9, 121.7, 119.0, 115.3, 113.7, 112.0, 111.7, 109.7, 61.7, 57.7, 55.4, 52.0, 36.1, Anal. calcd. for $C_{27}H_{23}N_5O_6$, C: 63.15, H: 4.51, N: 13.64, and found, C: 63.16, H: 4.46, N: 13.66. □

□

2-Amino-4-(4-((1-(4-chlorobenzyl)-1*H*-1,2,3-triazol-4-yl)methoxy)-3-methoxyphenyl)-6-(hydroxymethyl)-8-oxo-4,8-dihydropyrano[3,2-*b*]pyran-3-carbonitrile (8l)

Brown solid; m.p = 190-192 °C; FTIR (KBr), $\bar{\nu}$ (cm^{-1}): 3430, 2927, 2193, 1642, 1512, 1092; 1H NMR (400 MHz, DMSO- d_6) δ_{ppm} : 8.29 (s, 1H), 7.46 (d, $J = 8.4$ Hz, 2H), 7.37 (d, $J = 8.4$ Hz, 2H), 7.21 (s, 2H), 7.15 (d, $J = 8.4$ Hz, 1H), 6.88 (d, $J = 2.0$ Hz, 1H), 6.78 (dd, $J = 8.4, 2.0$ Hz, 1H), 6.33 (s, 1H), 5.63 (s, 2H), 5.11 (s, 2H), 4.75 (s, 1H), 4.13–4.25 (m, 2H), 3.73 (s, 3H); ^{13}C NMR (100 MHz, DMSO) δ 168.5, 167.2, 162.1, 159.6, 158.2, 157.3, 147.8, 141.9, 141.4, 135.4, 131.2, 129.3, 129.3, 129.1, 123.6, 119.2, 118.2, 114.7, 114.5, 113.5, 112.6, 110.4, 60.1, 58.1, 54.5, 51.0, 44.7; Anal. calcd. for $C_{27}H_{22}ClN_5O_6$, C: 59.18, H: 4.05, N: 12.78, and found, C: 59.20, H: 4.01, N: 12.70.

2-Amino-6-(hydroxymethyl)-4-(3-methoxy-4-((1-(4-methylbenzyl)-1*H*-1,2,3-triazol-4-yl)methoxy)phenyl)-8-oxo-4,8-dihydropyrano[3,2-*b*]pyran-3-carbonitrile (8m)

Brown solid; m.p= 165-167 °C; FTIR (KBr), $\bar{\nu}$ (cm^{-1}): 3405, 2189, 1642, 1512, 1420, 1215; 1H NMR (400 MHz, DMSO- d_6) δ_{ppm} : 8.24 (s, 1H), 7.19–7.25 (m, 6H), 7.18 – 7.10 (m, 2H), 6.88 (d, $J = 2.1$ Hz, 1H), 6.77 (dd, $J = 8.3, 2.2$ Hz, 1H), 6.33 (s, 1H), 5.56 (s, 2H), 5.09 (s, 2H), 4.74 (s, 1H), 4.21 – 4.08 (m, 2H), 3.72 (s, 3H), 2.28 (s, 3H); ^{13}C NMR (100 MHz, DMSO- d_6) δ_{ppm} : 169.6, 168.2, 159.2, 149.1, 149.0, 147.0, 142.8, 137.5, 136.1, 133.6, 133.0, 129.3, 128.0, 124.6, 119.6, 119.3, 113.6, 111.5, 111.3, 61.6, 59.1, 55.4, 52.6, 39.8, 20.7; Anal. calcd. for $C_{28}H_{25}N_5O_6$, C: 63.75, H: 4.78, N: 13.28, and found, C: 63.72, H: 4.78, N: 13.32.

2-Amino-6-(hydroxymethyl)-4-(3-methoxy-4-((1-(4-methoxybenzyl)-1*H*-1,2,3-triazol-4-yl)methoxy)phenyl)-8-oxo-4,8-dihydropyrano[3,2-*b*]pyran-3-carbonitrile (8n)

Brown solid; m.p= 163-165 °C; FTIR (KBr), $\bar{\nu}$ (cm^{-1}): 3430, 2924, 2193, 1641, 1514; 1H NMR (400 MHz, DMSO- d_6) δ_{ppm} : 8.26 (s, 1H), 7.31 (d, $J = 8.4$ Hz, 2H), 7.24 (s, 2H), 7.01 (d, $J = 8.0$ Hz, 1H), 6.93 (d, $J = 8.4$ Hz, 2H), 6.92–6.89 (m, 1H), 6.87 (d, $J = 8.0$ Hz, 1H), 6.34 (s, 1H), 5.72 (t, $J = 5.2$ Hz, 1H), 5.52 (s, 2H), 5.12 (s, 2H), 4.76 (s, 1H), 4.18 (qd, $J = 15.9, 5.9$ Hz, 2H), 3.73 (s, 3H), 3.60 (s, 3H); ^{13}C NMR (101 MHz, DMSO) δ 169.5, 168.2, 159.2, 159.1, 158.3, 148.8, 142.4, 136.4, 130.1, 129.6, 127.9, 124.3, 120.1, 119.2, 114.5, 114.1, 113.6, 111.4, 69.7, 61.1, 59.1, 55.1, 52.4, 40.2; Anal. calcd. for $C_{28}H_{25}N_5O_7$, C: 61.87, H: 4.64, N: 12.89, and found, C: 61.85; H: 4.64; N: 12.67.

2-Amino-4-(4-((1-(4-fluorobenzyl)-1*H*-1,2,3-triazol-4-yl)methoxy)-3-methoxyphenyl)-6-(hydroxymethyl)-8-oxo-4,8-dihydropyrano[3,2-*b*]pyran-3-carbonitrile (8o)

Brown solid; m.p= 181-183 °C; FTIR (KBr), $\bar{\nu}$ (cm^{-1}): 3441, 2193, 1637, 1510, 1223; 1H NMR (400

MHz, DMSO- d_6) δ_{ppm} : 8.26 (s, 1H), 7.44 – 7.40 (m, 2H), 7.35 – 7.31 (m, 2H), 7.14 (s, 2H), 7.11 (d, $J = 8.4$ Hz, 1H), 6.84 (d, $J = 2.2$ Hz, 1H), 6.74 (dd, $J = 8.4, 2.2$ Hz, 1H), 6.29 (s, 1H), 5.59 (s, 2H), 5.07 (s, 2H), 4.71 (s, 1H), 4.09-4.21 (m, 2H), 3.69 (s, 3H); ^{13}C NMR (100 MHz, DMSO- d_6) δ_{ppm} : 169.5, 168.2, 163.1, 160.6, 159.2, 158.3, 148.8, 142.9, 142.4, 136.4, 132.2, 130.3, 130.3, 130.1, 124.6, 120.2, 119.2, 115.7, 115.5, 114.5, 113.6, 111.4, 61.1, 59.1, 55.5, 52.0, 45.7; Anal. calcd. for $\text{C}_{27}\text{H}_{22}\text{FN}_5\text{O}_6$, C: 61.02, H: 4.17, N: 13.18, and found, C: 61.00,; H: 4.11, N: 13.15.

پیش‌بینی مجازی ویژگی‌های دارونمایی^۲ و جنبش‌شناسی دارویی^۳

پیش‌بینی ویژگی‌های دارونمایی و جنبش‌شناسی دارویی مولکولی سه ترکیب منتخب با استفاده از نرم‌افزارهای آن‌لاین کامپیوتری انجام شد. در این مرحله، مقادیر MW^4 ، HBA^5 ، HBD^6 ، LogP^7 ، tPSA^8 و RBC^9 ترکیب‌های انتخاب شده با نرم‌افزار MarvinSketch و آنالاین pkCSM محاسبه شد. پیش‌بینی اثر ترکیب‌ها بر آنزیم‌های سیتوکروم P450، درصد جذب روده‌ای ($\text{HIA}^{10}\%$) و درصد پیوند به پروتئین‌های پلاسما ($\text{PPB}^{11}\%$) با نرم‌افزارهای ذکرشده برای سه ترکیبی که بهترین نتیجه‌های مهار آنزیم تیروزیناز را داشتند، انجام شد.

مطالعه‌های داکینگ مولکولی

ساختار بلورنگاری آنزیم تیروزیناز (PDB code: 2Y9X) دارای تروپولون^{۱۲} به‌عنوان لیگاند ذاتی از بانک اطلاعاتی پروتئین‌ها به‌دست آمد. مطالعه‌های داکینگ مولکولی با نرم‌افزار AutoDock 4.2 انجام شد. ساختارهای سه‌بعدی لیگاندها با نرم‌افزار ChemDraw رسم شد و سپس با کمک نرم‌افزار Chem3D انرژی آن بهینه‌سازی و کمینه شد. با کمک ابزار نرم‌افزار Autodock بارهای گاستایگر^{۱۳} برای لیگاند محاسبه و

تعیین فعالیت مهار تیروزیناز

برای اندازه‌گیری مقدار مهار آنزیم تیروزیناز، از یک نوع قارچی آن (EC 1.14.18.1) استفاده شد. همچنین از لوودوپا^۱ به‌عنوان پیش‌ساز، استفاده شد. محلول مادر ترکیب‌ها تحت بررسی **La-o** و کوچیک اسید در DMSO با غلظت 20 mM تهیه شد و با بافر فسفات با pH برابر با 6.8 برای رسیدن به غلظت‌های مورد نیاز رقیق شد. در آغاز، 10 میکرولیتر از ترکیب موردسنجش با 140 میکرولیتر از بافر فسفات (50 mM)، 6.8 (pH =) در میکروپلیت 96 خانه مخلوط و سپس 10 میکرولیتر از تیروزیناز قارچی با غلظت 273 U ml⁻¹ افزوده شد. پس از اینکه مخلوط در 28 °C به‌مدت 20 دقیقه پیش گرم شد، 20 میکرولیتر از محلول لوودوپا (0.7 mM) به هر خانه افزوده و تشکیل دوپاکروم در طول موج جذبی 490 نانومتر پس از 10 دقیقه دنبال شد. هر آزمون تعیین مقدار، سه بار انجام شد. از DMSO خالص به‌عنوان کنترل و کوچیک اسید به‌عنوان کنترل مثبت استفاده شد. غلظت نهایی DMSO در محلول آزمون کمتر از 2٪ بود. درصد مهار با توجه به معادله 1 محاسبه شد [18].

= درصد مهار

$$(1) \quad (\text{جذب شاهد} / (\text{جذب ترکیب} - \text{جذب شاهد})) \times 100$$

اثرهای مهارتی هر ترکیب به‌شکل غلظت مورد نیاز جهت مهار 50٪ فعالیت آنزیم (IC_{50}) و درصد مهار به نمایش گذاشته شد.

1. L-DOPA	2. Drug-likeness	3. Pharmacokinetic	4. Molecular weight
5. Number of H-bond acceptors	6. Number of H-bond donors	10. Human Intestinal Absorption	
8. Rotatable bond count	9. Total polar surface area	7. The octanol-water partition coefficient	
11. Plasma Protein Binding	12. Tropolone	13. Gasteiger charges	

نتیجه‌ها و بحث

شکل ۲ مراحل کلی سنتز این گروه از ترکیب‌ها را نشان می‌دهد. سنتز این ترکیب‌ها شامل سه مرحله است. در مرحله اول ابتدا آلدهید **1a-c** دارای گروه هیدروکسی با پروپارژیل برمید در حلال DMF و کاتالیست K_2CO_3 به مشتق پروپارژیل **3a-c** در دمای اتاق تبدیل می‌شود. سپس مشتق‌های آمینو-۶-(هیدروکسی متیل)-۸-اکسو-۴-فنیل-۴،۸-دی‌هیدروپیرانو [b-۲, ۳] پیران-۳-کربونیتیل (**6a-c**) با یک واکنش چند جزئی (شامل کوچیک اسید (۴)، مالونیتریل (۵) و آلدهید به‌دست‌آمده از مرحله پیشین در اتانول به همراه کاتالیست تری‌اتانول آمین و شرایط بازروانی سنتز می‌شود. در نهایت، بنزیل هالیدهای متفاوت در حضور سدیم آزید در حلال متانول به ترکیبات آزیدو تبدیل می‌شوند و در همان ظرف واکنش در حضور کاتالیست سولفات مس (II) -آسکوربیک اسید، تری‌اتیل آمین و حلال متانول وارد واکنش با حدواسط (**6a-c**) شده و ترکیب‌های نهایی **8a-o** را ایجاد می‌کند [۱۷ و ۲۰].

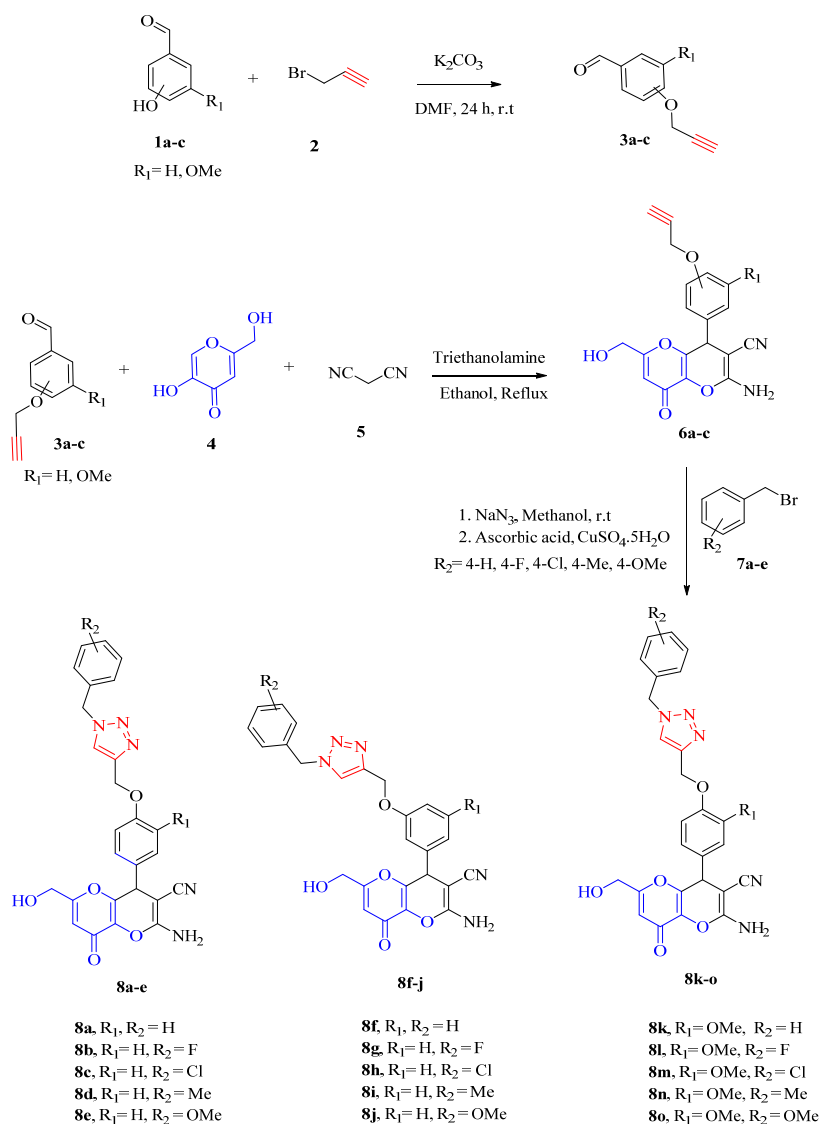
در شکل ۳، ترکیب **8i** به‌عنوان منتخبی از ترکیب‌های (**8a-o**) نمایش داده شده است و شماره اتم‌ها برپایه سامانه آیوپاک در آن مشخص شده است.

در نهایت فایل PDBQT لیگاند ساخته شد. برای ساخت فایل PDBQT آنزیم به‌ترتیب مولکول‌های آب، لیگاند و بخش‌های اضافی مشابه از آنزیم حذف شد. هیدروژن‌ها افزوده شدند و هیدروژن‌های ناقصیده ادغام شده و بار کولمن با آن افزوده شد. Scoring grid box برای AutoDock در مرکز $Cu-401$ قرار گرفت (x-مرکز: -81064 ، y-مرکز: -25776 ، z-مرکز: -39384 - بود). اندازه جعبه $50 \times 52 \times 64$ نقطه با مقدار فاصله‌گذاری 0.375 آنگستروم تنظیم شد. تجزیه و تحلیل خوشه‌ای با استفاده از تحمل $2/0$ مجذور میانگین ریشه (RMS^1) بر نتیجه‌های داکینگ انجام شد و پایین‌ترین انرژی صورت‌بندی از پرجمعیت‌ترین گروه برای تجزیه انتخاب شد. تصویرپردازی گرافیکی با نرم‌افزار Discovery Studio Client (نسخه ۲۰۲۱) انجام شد.

روش تجزیه و تحلیل داده‌ها

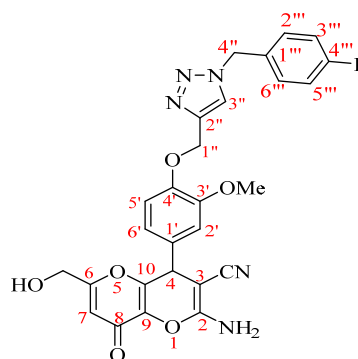
شناسایی ترکیب‌های سنتز شده با طیف‌سنجی‌های FTIR، ^1H-NMR و $^{13}C-NMR$ انجام شد. تجزیه و تحلیل داده‌های به‌دست آمده، برپایه قدرت مهارتی (درصد مهار) خواهد بود که با آزمون طیف‌سنجی در طول موج 490 نانومتر انجام شد و ترکیب دارای بیشترین قدرت مهارتی، برای بررسی ویژگی جنبش‌شناسی دارویی و چگونگی پیش‌بینی برهم‌کنش ترکیب‌ها با آنزیم تیروزیناز انتخاب شد.

1. Root mean square (RMS)



شکل ۲ طرح‌واره کلی سنتز ترکیب‌های مورد مطالعه

داده شده است. از کوچیک اسید به عنوان ترکیب استاندارد استفاده شده است. ترکیب‌های مورد مطالعه کوچیک اسید دارای حلقه ۱،۲،۳-تری‌آزول را می‌توان به سه گروه (۱) بر پایه آلدهید ۴-هیدروکسی پروپارژیل (8a-e)، (۲) بر پایه آلدهید ۳-هیدروکسی پروپارژیل (8f-j) و (۳) بر پایه آلدهید وانیلین پروپارژیل (8k-o) تقسیم کرد. باتوجه به این که ترکیب‌ها دارای اثرات مهاری در حد درصد مهار بودند، نمی‌توان بیان دقیقی در مورد رابطه ساختمان- اثر داشت. با این حال مشتق‌های گروه اول و سوم به‌طور کلی فعالیت مهاری مشابهی در قیاس با مشتق‌های گروه دوم از خود نشان دادند. در مشتق‌های هر دو گروه دیده می‌شود که ترکیب‌ها (8a و 8k) دارای کمترین فعالیت مهاری با درصد مهار ۱۸/۱۵ و ۳۱/۱۲ هستند. استخلاف‌های الکترون‌کشنده فلئور و کلر در موقعیت پارای بخش بنزیلی در گروه اول ترکیب‌ها (8b و 8c) به ترتیب درصد مهاری ۲۷/۲۳ و ۳۸/۹۸ از خود نشان دادند و همین استخلاف در گروه سوم ترکیب‌ها (8l و 8m) به ترتیب درصد مهاری ۳۷/۵۷ و ۳۷/۹۲ داشتند. همچنین، استخلاف‌های الکترون‌دهنده متیل و متوکسی در موقعیت پارای بخش بنزیلی در گروه اول ترکیب‌ها (8d و 8e) به ترتیب درصد مهاری ۴۰/۱۲ و ۳۲/۵۱ از خود نشان دادند و همین استخلاف در گروه سوم ترکیب‌ها (8n و 8o) به ترتیب درصد مهاری ۴۲/۵۲ و ۳۶/۱۳ داشتند. به نظر می‌رسد استخلاف‌های الکترون‌دهنده و لیپوفیل مانند متیل منجر به بهبود اثر می‌شوند. گروه دوم دارای تفاوت ساختار بیشتری با گروه اول و سوم هستند، زیرا بر پایه ۳-هیدروکسی‌بنزالدهید ساخته شده‌اند. در این گروه ترکیب 8f بدون هیچ استخلافی دارای بیشترین درصد مهار با مقدار ۴۵/۵۳ است. وجود استخلاف الکترون‌کشنده و الکترون‌دهنده منجر به کاهش فعالیت مهاری به میزان جزئی می‌شود.

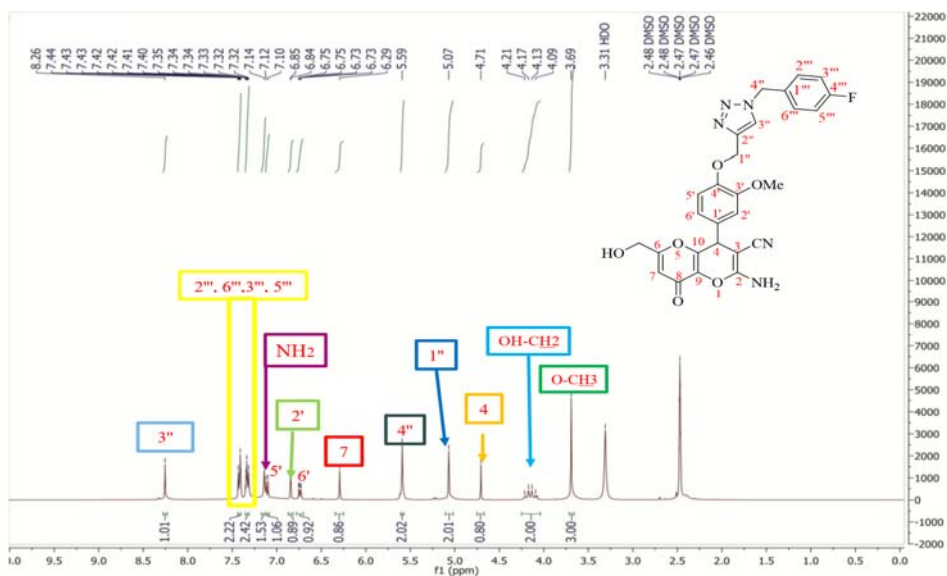


شکل ۳ ساختار شیمیایی و شماره گذاری ترکیب 8l

در شکل ۴ طیف $^1\text{H-NMR}$ مربوط به ترکیب 8l آورده شده است. همان‌طور که در این طیف مشاهده می‌شود، قله مربوط به پروتون کربن شماره ۳'' بر حلقه تری‌آزول در ناحیه ۸/۲۶ ppm پدیدار شده است. قله هیدروژن‌های حلقه آروماتیک فلئورو بنزیل بر کربن‌های شماره ۶''، ۳'' و ۲'' در گستره ۷/۳۳ تا ۷/۴۲ ppm مشاهده می‌شود و قله هیدروژن‌های حلقه آروماتیک بنزیل بر کربن‌های شماره ۵'، ۲' و ۱' به ترتیب در ۶/۸۵۳، ۷/۱۰ و ۶/۷۵ ppm است. همچنین قله مربوط به هیدروژن بر کربن شماره ۴ حلقه پیران در ۶/۲۹ ppm و پیک مربوط به هیدروژن بر کربن شماره ۴، حلقه پیران در ۴/۷۱ ppm نمایان شده است. پیک مربوط به هیدروژن بر کربن شماره ۱''، در ۵/۰۷ ppm نمایان شده است. همچنین، قله هیدروژن‌های استخلاف متوکسی حلقه آروماتیک بنزیل در ۳/۶۹ ppm و قله هیدروژن‌های متیلن، متیلن-هیدروکسی بر کربن شماره ۶ حلقه پیران در گستره ۴/۰۹ تا ۴/۲۱ ppm مشخص شده است. در آخر هم قله تک‌شاخه هیدروژن‌های گروه آمین بر کربن شماره ۲ در ۷/۱۴ ppm ظاهر شد.

ارزیابی برون‌تنی میزان مهار آنزیم تیروزیناز

با توجه به نتیجه‌های آزمون برون‌تنی مهار آنزیم تیروزیناز، بیشتر ترکیب‌ها قدرت مهاری متوسطی را از خود نشان دادند که نتیجه‌ها به صورت درصد مهار در جدول نمایش



شکل ۴ طیف $^1\text{H-NMR}$ مربوط به ترکیب 8i

جدول ۱ مقادیر درصد مهار ترکیب‌های 8a-o در برابر آنزیم تیروزیناز

مهار تیروزیناز (%)	R ₂	R ₁	ترکیب A	ردیف
۱۸٫۱۵ ± ۱٫۰۵	H	H	8a	۱
۲۷٫۲۳ ± ۴٫۱۵	F	H	8b	۲
۳۸٫۹۸ ± ۲٫۶۵	Cl	H	8c	۳
۴۰٫۱۲ ± ۲٫۸۸	CH ₃	H	8d	۴
۳۲٫۵۱ ± ۳٫۱۶	OCH ₃	H	8e	۵
۴۵٫۵۳ ± ۳٫۰۵	H	H	8f	۶
۳۸٫۲۱ ± ۳٫۵۵	F	H	8g	۷
۳۹٫۲۶ ± ۲٫۱۵	Cl	H	8h	۸
۳۶٫۱۱ ± ۴٫۲۱	CH ₃	H	8i	۹
۳۲٫۵۱ ± ۳٫۱۶	OCH ₃	H	8j	۱۰
۳۱٫۱۲ ± ۲٫۹۶	H	OCH ₃	8k	۱۱
۳۷٫۵۷ ± ۴٫۲۱	F	OCH ₃	8l	۱۲
۳۷٫۹۲ ± ۳٫۴۵	Cl	OCH ₃	8m	۱۳
۴۲٫۵۲ ± ۲٫۰۵	CH ₃	OCH ₃	8n	۱۴
۳۶٫۱۳ ± ۳٫۵۶	OCH ₃	OCH ₃	8o	۱۵
۱۹٫۶۹ ± ۲٫۱۱ μM			کوچیک اسید	۱۶

در مورد سه ترکیب (8n و 8f، 8d) بیش‌بینی دارونمایی (Drug-Likness) بررسی و محاسبه شد. نتیجه‌ها نشان می‌دهد که چهار متغیر اول ترکیب‌های 8d و 8f از قانون ۵ لیپینسکی پیروی می‌کنند و PSA به مقدار ناچیزی ($PSA \geq \text{Å}$) (۱۴۰) فراتر از گستره تعیین شده است. همچنین، برپایه مطالعه‌های پیشین یکی از متغیرها می‌تواند خارج از گستره مجاز باشد [۲۲]. درحالی‌که برای ترکیب 8n دو مورد MW و PSA خارج از گستره هنجار قرار می‌گیرد.

نتیجه‌های جنبش‌شناسی دارویی و سمیت در جدول ۳ خلاصه شده‌اند. درصد جذب روده‌ای (HIA^3) بین ۷۴/۵۳ تا ۸۸/۵۷ است که در گستره پذیرفته شده قرار دارد. حجم توزیع (VD_{SS}^4) یک عامل جنبش‌شناسی دارویی است که نشان‌دهنده تمایل یک دارو برای ماندن در پلاسما یا توزیع دوباره آن در سایر محفظه‌های بافتی است.

برپایه این نرم افزار آنلاین مقدار پذیرفته‌شده برای VD_{SS} به صورت $0.15 < \text{Log } VD_{SS} < 0.45 \text{ Log L/Kg}$ است. بنابراین، ترکیب‌های سنتز شده دارای $\text{Log } VD_{SS}$ در گستره پذیرفته شده هستند.

برای سوخت‌وساز پیش‌بینی می‌شود همه ترکیب‌ها به‌عنوان پیش‌ساز یا مهارکننده CYP450 3A4 عمل کنند. در حالی که انتظار می‌رود به‌عنوان پیش‌ساز یا مهارکننده CYP450 2D6 و CYP450 2D19 نباشند. با توجه به دفع، انتظار می‌رود هیچ یک از ترکیب‌ها، پیش‌ساز انتقال‌دهنده کاتیون آلی ۲ کلیه (OCT2) نباشند. در نهایت، همه ترکیب‌ها از نظر حساسیت پوستی بررسی شدند که پیش‌بینی می‌شود که حساسیت‌زا نباشند. در ادامه سمیت سلولی با نرم‌افزار برخط pro-Tox-II ارزیابی شد و برپایه پیش‌بینی هیچ‌کدام سمیت سلولی ندارند.

نتیجه‌های پیش‌بینی شده از ویژگی جنبش‌شناسی دارویی ترکیب‌های منتخب

ترکیب‌های (8n و 8f، 8d) با بهترین درصد فعالیت مهارری آنزیم تیروزیناز برای محاسبه ویژگی‌های فیزیکوشیمیایی انتخاب [۲۲ و ۲۳] و با نرم‌افزارهای آنلاین pkCSM و MarvinSketch این ویژگی‌ها محاسبه شدند. قانون ۵ لیپینسکی برای این ترکیب‌ها، شامل $MW \geq 500$ ، $HBA \geq 10$ و $HBD \geq 5$ ، $\text{Log } P \geq 5$ ، $PSA \geq 140 \text{ Å}^2$ و $RBC \geq 10$ برای پیش‌بینی فراهمی زیستی آن‌ها بررسی و محاسبه شد. نتیجه‌ها در جدول ۲ نشان داده شده‌اند. برای پیش‌بینی ویژگی جنبش‌شناسی دارویی^۱ شامل جذب، توزیع، سوخت و ساز دفع و سمیت (ADMET) ترکیب‌های انتخاب شده (8n و 8f، 8d)، از نرم‌افزار آنلاین استفاده شد و نتیجه‌های آن در جدول ۳ ارائه شده است.

قانون لیپینسکی^۲ برای این ترکیب‌ها، شامل $MW \geq 500$ ، $HBA \geq 10$ و $HBD \geq 5$ ، $\text{Log } P \geq 5$ و $RBC \geq 10$ است که می‌تواند با متغیرهای دیگری مانند $PSA \geq 140 \text{ Å}^2$ نیز به‌منظور بهبود آن، همراه باشد. همان‌طور که در جدول ۲ مشاهده می‌شود.

جدول ۲ ویژگی‌های دارونمایی ترکیب‌های سنتز شده 8n و 8f، 8d

ردیف	ترکیب	HBD	HBA	MW	Log P	RBC	PSA
۱	8d	۲	۱۰	۴۹۷،۵۱۱	۲،۸۷	۷	۱۵۴،۷۴
۲	8f	۲	۱۰	۴۸۴،۴۸۳	۲،۵۶	۷	۱۴۵،۵۱
۳	8n	۲	۱۰	۵۲۷،۵۳۷	۲،۸۸	۷	۱۶۳،۹۷

1. Pharmacokinetic 2. Lipsinki's rule of 5 3. Human Intestinal Absorbtion 4. Steady state volume of distribution (VDss)

جدول ۳ پیش‌بینی ویژگی ADME*-Tox ترکیب‌های سنتز شده 8n و 8f

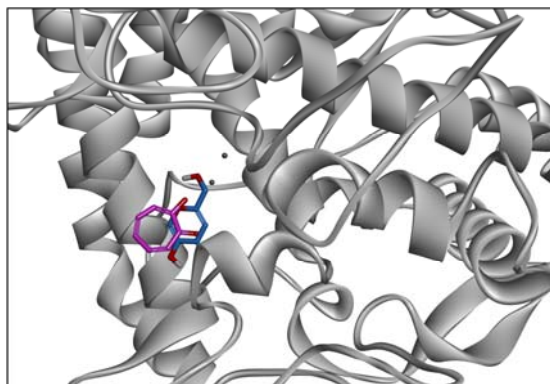
سمیت		دفع	دگردشتی						توزیع	جذب		
بازدارنده hERG** I	حساس‌سازی پوست		سمیت سلولی	پیش‌ساز Renal OCT2	پیش‌ساز CYP2C19	مهار CYP2C9	پیش‌ساز CYP2D6	مهار CYP2D6		پیش‌ساز CYP3A4	مهار CYP3A4	VDss (logL/Kg)
خیر	خیر	خیر	خیر	خیر	خیر	خیر	خیر	بله	بله	-۰,۰۲۱	۷۴,۵۳	8d
خیر	خیر	خیر	خیر	خیر	خیر	خیر	خیر	بله	بله	۰,۱۱۶	۸۸,۵۷	8f
خیر	خیر	خیر	خیر	خیر	خیر	خیر	خیر	بله	بله	۰,۴۱۱	۸۳,۴۴	8n

* Absorption, Distribution, Metabolism, Excretion (ADME)

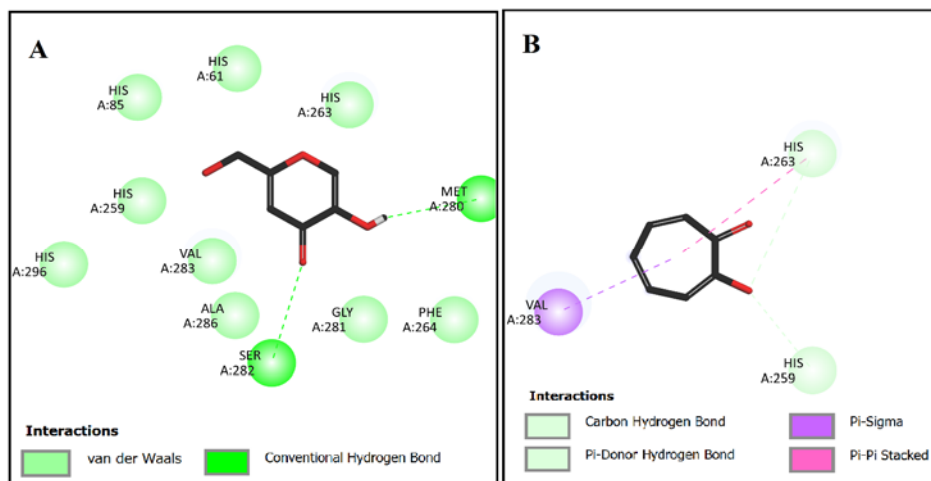
** Human ether-a-go-go related gene (hERG)

مطالعه‌های داکینگ مولکولی

داکینگ ترکیب موثر 8f، تروپولون و کوچیک اسید برای بررسی برهم‌کنش بین این لیگاندها و آنزیم تیروزیناز با کمک نرم‌افزار AutoDock انجام شد. بهترین هم‌صورت^۱ و امتیاز داکینگ برای هر لیگاند تعیین شد. همان‌طور که در شکل‌های ۵ و ۶ نشان داده شده است، حفره پیوند پیش‌ساز شش آمینواسید هیستیدین یون‌های مس را احاطه کرده و بقایای آمینواسیدهای Ser282 و Met280 محل اصلی پیوند کوچیک اسید و ایجاد پیوند هیدروژنی است. تروپولون نیز در مکان فعال همانند کوچیک اسید قرار می‌گیرد و با بقایای His263 و His259 پیوند هیدروژنی ایجاد می‌کند، در حالی که برهم‌کنش آب‌گریز پای با His263 و Val283 برقرار می‌کند.



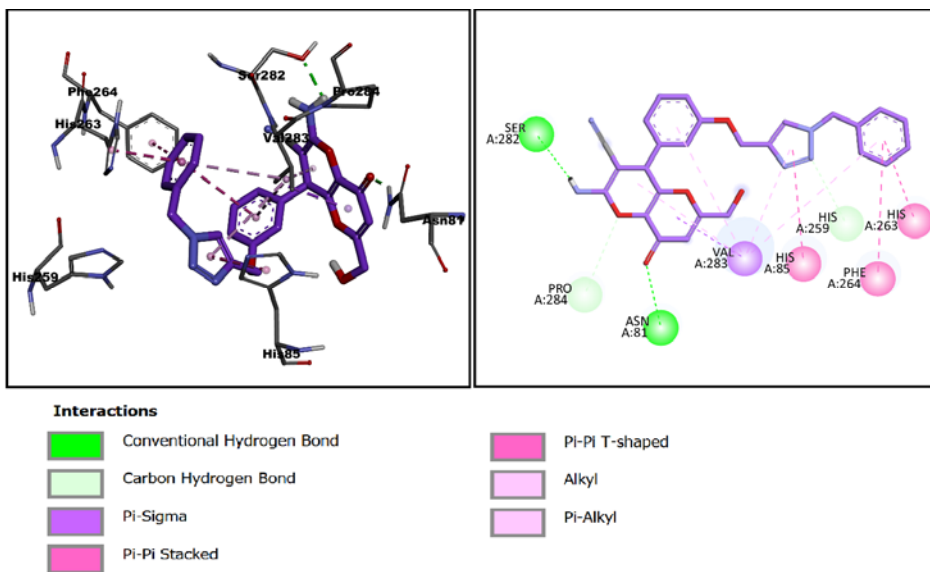
شکل ۵ کوچیک اسید (به رنگ آبی) و تروپولون (به رنگ بنفش) در مکان فعال آنزیم تیروزیناز



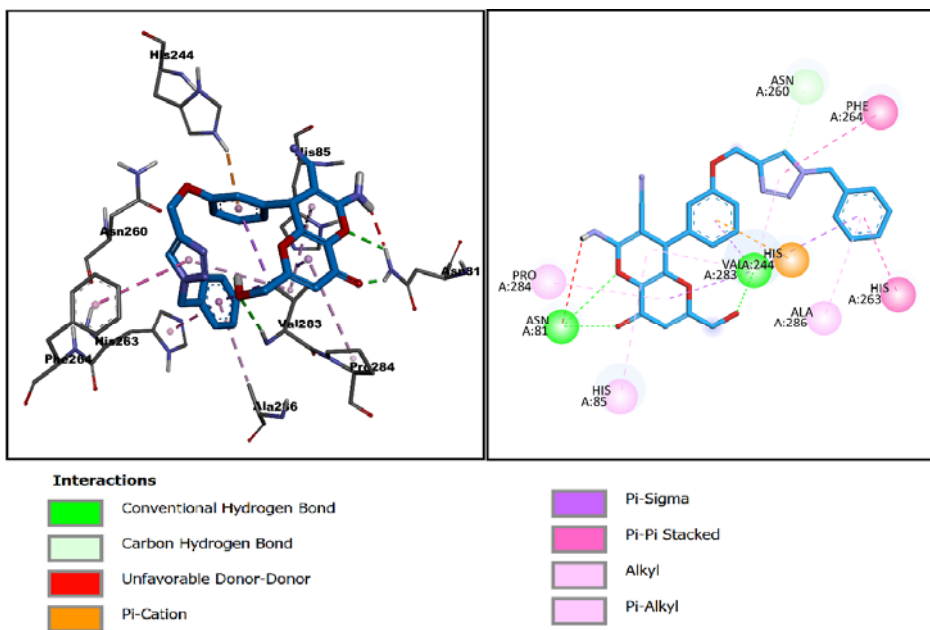
شکل ۶ نمایش دو بعدی برای برهم کنش‌های ترکیب کوچک اسید (A) و تروپولون (B) با آمینواسیدهای موجود در مکان تیروزیناز

برهم کنش دوبعدی و سه‌بعدی آنانتیومر *R* ترکیب 8f با مکان فعال نمایش داده شده است. به طوری که مشاهده می‌شود قسمت بنزیلوکسی به سمت دهانه حفره مکان فعال جهت‌گیری می‌کند و با آمینو اسیدهای His244 و His263 وارد برهم کنش‌های استکینگ پای-پای می‌شود و پای-آلکیل با Ala286 برقرار می‌کند. تری‌آزول وارد برهم کنش پای-پای و هیدروژنی به ترتیب با آمینواسیدهای Phe264 و Asn260 می‌شود. Val283 وارد برهم کنش پای-آلکیل با حلقه فنیل مرکزی، تری‌آزول و کبودی‌هیدروپیران می‌شود. فنیل مرکزی همچنین، با اسید آمینه His244 برهم کنش پای-کاتیون ایجاد می‌کند. بخش کبودی‌هیدروپیران در اطراف مکان فعال که دارای اسید آمینه‌های مناسب برای پیوند هیدروژنی است جهت‌گیری می‌کند و گروه کربونیل برهم کنش پیوند هیدروژنی با Asn81 و گروه آمین برقرار می‌کند. همچنین، گروه آمین یک برهم کنش نامطلوب پیوند هیدروژنی دهنده-دهنده با Asn81 ایجاد می‌کند.

شکل‌های ۷ و ۸ داکینگ ترکیب 8f را در مکان فعال آنزیم تیروزیناز نشان می‌دهد. از آنجایی که ترکیب‌ها دارای مرکز دستوار هستند، دو آنانتیومر *S* و *R* دارند و محاسبه‌های داکینگ برای هر دو آنانتیومر، در شکل ۷ تا ۸ نمایش داده شده است. در شکل ۷ برهم کنش دو بعدی و سه بعدی آنانتیومر *S* ترکیب 8f با مکان فعال نمایش داده شده است. به طوری که مشاهده می‌شود قسمت بنزیلوکسی به سمت دهانه حفره مکان فعال جهت‌گیری می‌کند و با آمینو اسیدهای His283 و Phe264 وارد برهم کنش‌های استکینگ پای-پای می‌شود. حلقه تری‌آزول برهم کنش‌های پای-پای با His85 برقرار می‌کند. فنیل مرکزی با اسید آمینه Val283 برهم کنش پای-آلکیل فعال ایجاد می‌کند. بخش کبودی‌هیدروپیران در اطراف مکان فعال که دارای اسید آمینه‌های مناسب برای پیوند هیدروژنی است جهت‌گیری می‌کند و گروه کربونیل برهم کنش پیوند هیدروژنی با Asn81 و گروه آمین با Ser82 برقرار می‌کند. در شکل ۸



شکل ۷ نمایش دو بعدی و سه بعدی برای برهم‌کنش‌های انانتیومر S از ترکیب 8f با اسید آمینه‌های مکان فعال تیروزیناز



شکل ۸ نمایش دو بعدی و سه بعدی برای برهم‌کنش‌های R از ترکیب 8f با اسید آمینه‌های مکان فعال تیروزیناز

مهارى متوسط داشته باشند. باتوجه به این که ترکیبها داراى اثرهاى مهارى در حد درصد مهار بودند نمى توان بیان دقیقى در مورد رابطه ساختمان- اثر داشت. مطالعه هاى داکینگ ترکیب 8f نشان داد پیوند بین مهارکننده و آنزیم از راه هیستیدینهاى دهانه کانال ورودى مکان فعال آنزیم انجام مى شد. همچنین، بررسى ویژگیهاى دارونمايى و جنبش شناسى داروئى با سرورهاى محاسباتى برخط نشان داد که ترکیبهاى منتخب توانستند ویژگیهاى دارونمايى برپایه قوانین لیپینسكى و کینتیكى قابل قبول بدون هیچ نوع سمیتى داشته باشند.

سپاسگزاری

این پژوهش با شماره پروژه ۹۸۰۵۱۵۳۷۲۴ توسط معاونت تحقیقات و فناوری دانشگاه علوم پزشکی همدان حمایت شد.

نتیجه گیری

پانزده ترکیب کوچک اسید داراى حلقه ۳،۲،۱-تری آزول 8a-o طى سه مرحله سنتز شد. در مرحله اول ترکیبهاى آلدهیدى پروپارژیله 3a-c از آلدهیدهاى داراى گروه هیدروکسیل سنتز شد. در مرحله دوم واکنش سه جزیى شامل آلدهیدهاى پروپارژیله، مالونیتریل، و کوچک اسید در حلال اتانول منجر به تولید حدواسط ۲-آمینو-۶-(هیدروکسی متیل)-۸-اکسو-۴-فنیل-۸،۴-دی هیدروپیرانو [۳، ۲-b] پیران-۳-کربونیتریل 6a-c شدند. در مرحله سوم واکنش شیمی کلیک با روش کلاسیک شارپلس انجام شد و مشتقهاى کوچک اسید داراى حلقه ۳،۲،۱-تری آزول سنتز و در مرحله بعد در برابر آنزیم تیروزیناز ارزیابى شدند. با توجه به نتیجه هاى آزمون برون تى مهار آنزیم تیروزیناز، بیشتر ترکیبها توانستند قدرت

مراجع

- [1] Himo, F.; Lovell, T.; Hilgraf, R.; Rostovtsev, V.V.; Noodleman, L.; Sharpless, K.B.; Fokin, V.V.; J. Am. Chem. Soc. 127, 210-216, 2005.
- [2] Hein, J. E.; Fokin, V.V.; Chem. Soc. Rev. 39, 1302-15, 2010.
- [3] Jiang, X.; Hao, X.; Jing, L.; Wu, G.; Kang, D.; Liu, X.; Zhan, P.; Expert. Opin. Drug. Discov. 14, 779-789, 2019.
- [4] Vaibhav, S.; Lakshaman, K.; Int. J. Res. Pharm. Biomed. Sci. 3, 977-82, 2012.
- [5] Nursid, M.; Marraskuranto, E.; Septorini, D.; Batubara, I.; Squalen Bull. Mar. Fish. 14, 33-42, 2019.
- [6] Narayanaswamy, N.; Duraisamy, A.; Balakrishnan, K.; Int. J. Pharma Bio Sci. 2, 294-303, 2011.
- [7] Zimmermann Franco, D.C.; Goncalves de Carvalho, G.S.; Rocha, P.R.; da Silva Teixeira, R.; Da Silva, A.D.; Barbosa Raposo, N.R.; Molecules. 17, 11816-11825, 2012.
- [8] Sharma, K.; Joshi N.; Goyal, C.; Anc. Sci. Life. 31, 18-25, 2015.
- [9] Kamaraj, B.; Purohit, R.; Bio. Med. Res. Int. 2013, 697051, 2013.
- [10] Kanteev, M.; Goldfeder, M.; Fishman, A.; Protein Sci. 24, 1360-9, 2015.
- [11] Mohania, D., Chandel, S.; Kumar, P.; Verma, V.; Digvijay, K.; Tripathi, D.; Choudhury, K.; Mitten, S. K.; Shah, D.; "Ultraviolet Radiations: Skin Defenc-Damage Mechanism" in: Ahmad, S. (eds) "Ultraviolet Light in Human Health, Diseases and Environment, Advances in Experimental Medicine and Biology", vol 996. Springer, Cham., 2017.
- [12] Ullah, S.; Son, S.; Yun, H.; Kim, Y.D.H.; Chun, P.; Moon, H.R.; Expert Opin. Ther. Pat. 26, 347-62, 2016.
- [13] Wan, H.M.; Chen, C.C.; Giridhar, R.; Chang, T.S., Wu, W.T.; Journal of Industrial Microbiology and Biotechnology 32(6), 227-233, 2005.
- [14] Jones, K.; Hughes, J.; Hong, M.; Jia, Q.; Orndorff, S.; Pigment. Cell. Res. 15, 335-40, 2002.

- [15] Xu, X.; Zhang, P.J.; Elder, D.E.; Arch. Pathol. Lab. Med. 127, 1083-4, 2003.
- [16] Taranto, F.; Pasqualone, A.; Mangini, G.; Tripodi, P.; Miazzi, M.; Pavan, S.; Int. J. Mol. Sci. 18, 377, 2017.
- [17] Najafi, Z.; Esmaili, S.; Khaleseh, B.; Babae, S.; Khoshneviszadeh, M.; Chehardoli, G.; Akbarzadeh, T.; Sci Rep. 12, 19917, 2022.
- [18] Karimian, S.; Ranjbar, S.; Dadfar, M.; Khoshneviszadeh, M.; Gholampour, M.; Sakhteman, A.; Khoshneviszadeh, M.; Mol. Divers. 25(4), 2339-49, 2021.
- [19] Somakala, K.; Amir, M.; Sharma, V.; Wakode, S., Monatsh. Chem. 147 (11), 2017-2029, 2016.
- [20] Dgachi, Y.; Martin, H.; Malek, R.; Jun, D.; Janockova, J.; Sepsova, V.; Soukup, O.; Iriepa, I.; Moraleda, I.; Maalej, E.; Carreiras, M.C.; Refouvelet, B.; Chabchoub, F.; Marco-Contelles, J.; Ismaili, L., J. Enzyme Inhib. Med. Chem. 34 (1), 163-170, 2019.
- [21] Buckley, B.R.; Figueres, M.M.; Khan, A.N.; Heaney, H., Synlett 27(1), 51-56, 2016.
- [22] Abdelli, I.; Benariba, N.; Adjdir, S.; Fekhikher, Z.; Daoud, I.; Terki, M.; Benramdane, H.; Ghalem, Said.; J. Biomol. Struct. Dyn. 39(3), 816-22, 2021.

Synthesis of dihydropyranocarbonitrile compounds based on kojic acid linked to 1,2,3-triazole ring by click chemistry approach and their evaluation as potential tyrosinase inhibitors

Z. Najafi^{1,*}, S. Esmaili², S. Babaei², B. Khaleseh³, G. Chehardoli⁴,
M. Khoshneviszadeh^{5,*} and T. Akbarzadeh⁶

1. Assistant Prof. of Medicinal Chemistry, School of Pharmacy, Hamadan University of Medical Sciences, Hamadan, Iran.
2. Ph.D Student of Organic Chemistry, Faculty of Chemistry, Bu-Ali Sina University, Hamedan, Iran.
3. Ph.D Student of Medicinal Chemistry, School of Pharmacy, Hamadan University of Medical Sciences, Hamadan, Iran.
4. Associate Prof. of Organic Chemistry, School of Pharmacy, Hamadan University of Medical Sciences, Hamadan, Iran.
5. Associate Prof. of Medicinal Chemistry, School of Pharmacy, Shiraz University of Medical Sciences, Shiraz, Iran.
6. Professor of Medicinal Chemistry, School of Pharmacy, Tehran University of Medical Sciences, Tehran, Iran.

Abstract: In this research, synthesis of dihydropyranocarbonitrile compounds based on kojic acid linked to 1,2,3-triazole ring were performed by click chemistry method and evaluated as tyrosinase enzyme. Ring formation of triazole in the target compounds was performed by the classic Sharpless approach and in the presence of copper as catalyst. The compounds included three categories including kojic acid derivatives with 1,2,3-triazole ring based on 4-hydroxybenzaldehyde, 3-hydroxybenzaldehyde, and 4-hydroxy-3-methoxy benzaldehyde (vanillin). In vitro evaluation of the tyrosinase enzyme inhibitory effect of all compounds was performed. Most of the compounds showed moderate to weak inhibition and finally, the results were reported as inhibition percentage. Among them 8d, 8f, and 8n compounds have the best percentage of tyrosinase enzyme inhibitory activity with percentages of 40.40 ± 2.88 , 45.53 ± 3.05 , and 42.52 ± 2.05 , respectively, compared to kojic acid as standard control (19.69 ± 2.11 μ M). Docking studies showed that the compounds interacted with the amino acids of the entry of active site and its around. In addition, the drug-likeness and pharmacokinetic properties for the selected compounds were calculated and the obtained data were within the acceptable range.

Keywords: Tyrosinase inhibitors, Kojic acid, 1,2,3-Triazole, Cyclization, Molecular docking

* Corresponding author Email:

z.najafi@umsha.ac.ir &
khoshnevim@sums.ac.ir

Journal of Applied Research in Chemistry